

### III-239 超軟弱地盤上の履帶式作業車の牽引力

愛媛大学工学部

正員 室 達朗

愛媛大学工学部

正員 楢 明潔

東京建設コンサルタント(株)

正員 ○ 古田 真二

前田建設工業(株)

赤坂 雄司

1. まえがき 前報<sup>1)</sup>において、超軟弱地盤上を傾斜走行する履帶式作業車を想定し、ベーン試験・平板貫入試験によるせん断特性と履帶モデル牽引試験による沈下特性をエネルギー解析を用いて、そのトラフィカビリティを評価をしました。そこで、本研究において、履帶モデル牽引試験より実測される牽引力とエネルギー解析による牽引力とを比較する事により、シミュレーションにおける牽引力の検証を行なうと共に、傾斜走行時の実車モデルを想定し履帶形状および偏心距離を考慮に入れ、牽引力の評価を行なった。なお、履帶形式としては、より有効に牽引力を發揮するためか性の全くない剛な履帯とした。

2. 試料土および実験装置 試料土はカオリン粘土と海水を2:3の重量比で混合したものと、試料箱(100×40×10cm)の中で10日間自重圧密させたもの(圧密度95%)を使用した。試料土の土質性状、粒度分布および実験装置は、前報と同じである。

3. 実験方法および実験結果 平板貫入試験において、平板寸法10×6cm、貫入速度1cm/sec、ベーンせん断試験においては、せん断速度を0.1cm/secとした。貫入変形エネルギー $E_p$ と貫入深さ $X$ 、せん断変形エネルギー $E_r$ とせん断深さ $Z$ およびせん断変位 $\gamma$ との間には、各々、次式の関係があることがわかつており<sup>2)</sup>。それぞれの係数 $a, b, c, d$ は表1に示す通りである。 $E_p = a \cdot X^b$ ,  $E_r = c \cdot Z \cdot \gamma^d$

履帶モデル牽引試験においては、履帶モデルとして種々の剛な履帯を想定して図1に示すものを使用した。沈下量 $S_A$ とスリップ距離 $L$ 、接地圧 $P$ と初期沈下量 $D_f$ の間に、 $S_A = D_f + l \cdot L^m \cdot P^n$ なる関係がある事がわかつており<sup>2)</sup>、この時の係数 $l, m, n$ は表1に示す。また新たに $D_f = U P^v$ なる関係があることが今回の実験より明らかになつた。この時の係数 $U, v$ は表2に示す。

4. 解析方法 解析は前報<sup>2)</sup>に示されたエネルギー解析を用いたが、実験より初期沈下量を接地圧で表わせることがわかつたため、接地圧に各種の値を入れて算定した。

5. 履帶モデル牽引試験とエネルギー解析結果との比較 履帶モデル牽引試験より得られる牽引抵抗から履帶モデルの牽引力を算出し、エネルギー解析より得られる牽引力と比較検証した。履帶モデル牽引試験の牽引抵抗には、グローサーによる試料土のせん断力

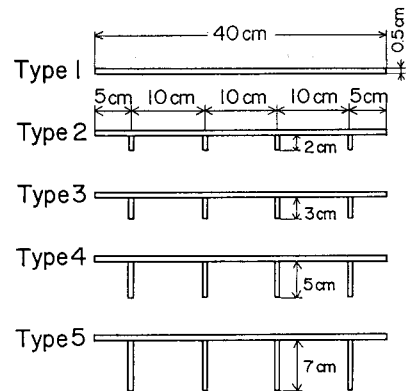


図1 履帶モデル

平板載荷試験	a	b
	1.772	1.637
ベーンせん断試験	c	d
	0.103	1.236
履帶のけん引試験	l	m
	0.060	0.682
Type 1	0.049	0.576
Type 2	0.047	0.582
Type 3	0.074	0.520
Type 4	0.048	0.505
Type 5	0.121	0.486

表1 a,b,c,d, l,m,nの値

	Type 1	Type 2	Type 3	Type 4	Type 5
U	0.250	0.269	0.218	0.121	0.108
V	1.556	1.418	1.473	1.715	1.709

表2 U, Vの値

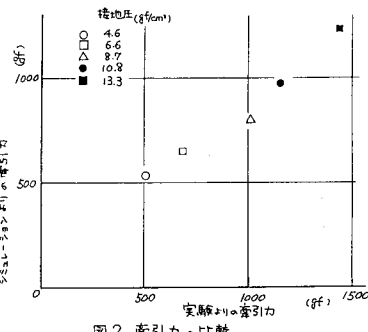


図2 牽引力の比較

の他に履帶モデルを引張ることによつて生じる運土抵抗力が入つてゐる。また、履帶モデルの上部に試料土が載り、実質上の接地圧も増加していふと考えられる。そこで、運土抵抗力については、グローサーがその先端位置で牽引方向に試料土を連續的に破壊する力を試料土の盛り上がりの終了位置までのすべり線を仮定して求め、それを運土抵抗力とした。また、平均接地圧の増加については、牽引時の履帶上部に載る試料土の体積を求め、これにより補正した。この様にして実験より牽引力を求めた。一方、エネルギー解析から算出される牽引力は、グローサー底部の試料土のせん断変形抵抗力とグローサー間の側面摩擦抵抗力との和であるとした。履帶モデルとしてはType 4を用いた。以上の操作を行なつて実験よりの牽引力とシミュレーションよりの牽引力を比較したもののが図2である。両方の値はかなり近いものとなる。2つおり、この事からシミュレーションによる牽引力の算出値は適当なものと思われる。

6. 実車モデルへの適用 履帶式作業車のモデルとして、D.P. 履帶長 350cm、履帶幅 100cm、平均接地圧Pを  $3.0 \text{ kgf/cm}^2$  より  $24.0 \text{ kgf/cm}^2$  まで、グローサー高さ 5cm、偏心距離Eを 20, 40, 50cmと与えて傾斜走行を想定し算出したものが図3である。なおこの時偏心距離は接地圧分布が台形となる範囲にとどめた。この図より偏心距離が増すと最大牽引力は増加するが、最大牽引力を發揮する最適接地圧は減少することが明らかである。

図4は偏心距離を 50cm として、グローサー高さ別に接地圧と牽引力の関係を示したものである。グローサー高さ別に各々最適接地圧が存在し、また、グローサー高さが高い程最大牽引力が大きいことが判明した。これはグローサー高さが高い程せん断深さが深くなりせん断抵抗力が増加するためである。この時、グローサー高さ 5cm のものが最適接地圧  $13.5 \text{ kgf/cm}^2$  の時、最大牽引力 379 kgfを得た。図5は履帶長、履帶幅を各々変えたものであるが、履帶長を延ばす事により牽引力は増大するが、最適接地圧は、ほぼ変らない。また、履帶幅を増すと最大平均接地圧、最大牽引力、最適接地圧共に増す。これは、偏心距離を履帶長の 15%としたため、履帶長の変化に伴つて偏心距離は変わらか、履帶幅の増加に対する偏心距離の変化がないためと思われる。

7. 結論 以上、たわみ性履帶よりも牽引力の増大する剛な履帶についてエネルギー解析の適用性を検証することができたので、実際設計の基礎的考え方として、グローサーを可能な限り高くする、土質に応じた最適接地圧を見出す、適切な偏心距離を維持する、履帶長、履帶幅をなるべく大きくする等が最大牽引力を増大させるための要因となることが判明した。

参考文献 1) 室達朗、橋田澄則、窪井康隆：海底作業車のヘドロに対する走行性能、15回土質工学研究発表会、昭55年6月 2) 室達朗、棟明潔、北岡完治、小林幸則；超軟弱地盤上のトラフィカビリティについて、16回土質工学研究発表会、昭56年5月 3) 室達朗、R.N. Yong；履帶式雪上車の走行性、雪氷、42, 2, 1980, pp. 33-40.

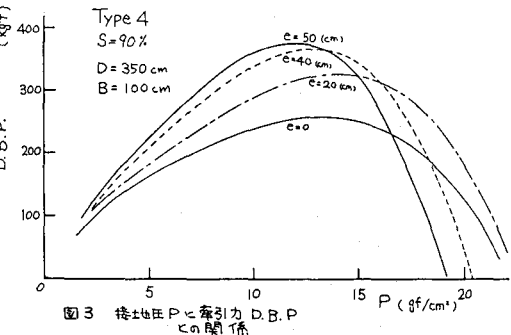


図3 接地圧Pと牽引力D.B.P.との関係

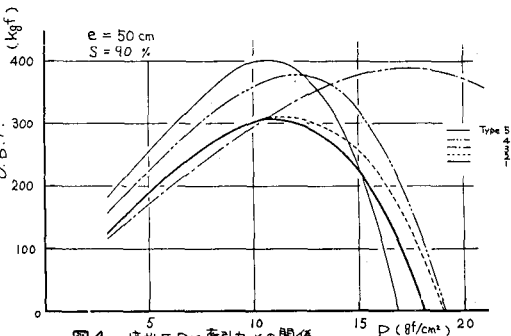


図4 接地圧Pと牽引力との関係

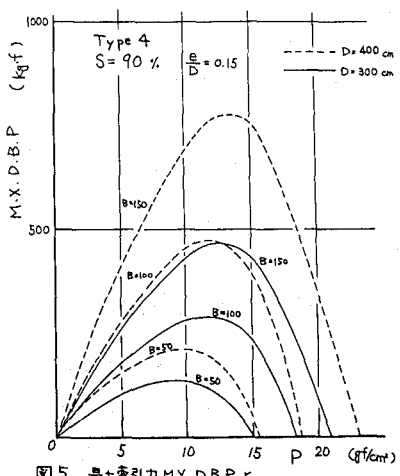


図5 最大牽引力M.X.D.B.P.と接地圧Pの関係(履帶幅B別)